

## تأثیر تمرینات تقویتی سرینی بزرگ بر ریسک فاکتورهای کینماتیکی و کینتیکی آسیب غیربرخورده رباط صلبی قدامی زانو

آزاده درودگر<sup>۱</sup>، خلیل خیامباشی<sup>۲\*</sup>، شهرام لنجان نژادیان<sup>۳</sup>، قاسم یادگارفر<sup>۴</sup>

۱. استادیار، گروه تربیت بدنی، دانشگاه آزاد اسلامی واحد مبارکه، مبارکه، ایران
۲. استاد، گروه آسیب‌شناسی ورزشی و حرکات اصلاحی، دانشکده علوم ورزشی، دانشگاه اصفهان، اصفهان، ایران
۳. استادیار، گروه بیومکانیک ورزشی، دانشکده علوم ورزشی، دانشگاه اصفهان، اصفهان، ایران
۴. دانشیار، مرکز تحقیقات تاریخی قلب، پژوهشکده قلب و عروق و گروه اپیدمیولوژی و آمار زیستی، دانشکده بهداشت، دانشگاه علوم پزشکی اصفهان، اصفهان، ایران

شماره صفحات: ۲۳ تا ۲۵

تاریخ پذیرش مقاله: ۱۳۹۸/۹/۲۷

تاریخ دریافت مقاله: ۱۳۹۸/۹/۱۱

مقاله پژوهشی

### چکیده

نسبت قدرت همسترینگ به چهارسر بعنوان ریسک فاکتور آسیب رباط صلبی قدامی زانو (ای سی ال) مطرح است و زوایای خمسن زانو و ران بر روی آن اثر دارد. سرینی بزرگ نیز همکار همسترینگ در بازگردان ران در زنجیره جنسی است. هدف پژوهش بررسی تأثیر تمرینات تقویتی سرینی بزرگ بر ریسک فاکتورهای کینتیکی و کینماتیکی آسیب ای سی ال در هنگام فرود از پرش بود. ۲۵ داوطلب زن ۱۸-۳۰ ساله تصادفی در گروه کنترل (۱۳) و تجربی (۱۲) قرار گرفتند. بیشینه قدرت ایزومنتریک سرینی بزرگ، زوایای مفاصل ران و زانو و مؤلفه عمودی نیروی عکس العمل زمین به ترتیب با داینامومتر، فیلم برداری دو بعدی و فوت اسکن در لحظه فرود اندازه گیری شد. پس از ۸ هفته ۳ جلسه‌ای تمرینات مقاومتی سرینی بزرگ، اختلاف درون گروهی نیروی عکس العمل زمین ( $F=5.245$ ,  $P=0.032$ ) توسط تحلیل واریانس مختلط دو عاملی و اختلاف پیش و پس آزمون با  $16/63$  درصد کاهش معنادار بود ( $\alpha=0.05$ ,  $P=0.038$ ,  $t=2.354$ ). اختلاف بین بیشینه و زمان رسیدن به اوج نیروی عکس العمل زمین، میانگین زوایای مفاصل، ضربه و نرخ بار معنادار نبود ( $\alpha=0.05$ ). با توجه به افزایش ۴/۵۵٪ و ۳/۴۷٪ درصدی قدرت سرینی بزرگ و زمان رسیدن به اوج نیرو و اینکه در ابتدای فرود، مزیت مکانیکی همسترینگ کمتر از سرینی بزرگ است، به نظر می‌رسد با افزایش قدرت سرینی بزرگ می‌توان از طریق کاهش نیروی عکس العمل زمین ریسک آسیب ای سی ال را کاهش داد.

**کلیدواژه‌ها:** آسیب‌های رباط صلبی قدامی زانو، قدرت عضله، ریسک فاکتورها، کینتیک، کینماتیک

## The effect of Gluteus maximus muscle strengthening on kinematic and kinetic risk factors of non-contact ACL injury

Azadeh Doroodgar<sup>1</sup>, Khalil Khayambashi<sup>\*2</sup>, Shahram Lenjannejadian<sup>3</sup>, Ghasem Yadegarfar<sup>4</sup>

1. Assistant Professor in Physical Education Department, Mobarakeh Branch, Islamic Azad University, Mobarakeh, Iran
2. Professor in Sports Injuries and Corrective Exercises Department, Sports Sciences faculty, University of Isfahan, Isfahan, Iran
3. Assistant Professor in Sports Biomechanics Department, Sports Sciences faculty, University of Isfahan, Isfahan, Iran
4. Associate Professor in Heart Failure Research Center, Cardiovascular Research Institute and Epidemiology and Biostatistics Department, School of Public Health, Isfahan University of Medical Sciences, Isfahan, Iran

### Abstract

Hamstrings (Hams) to Quadriceps (Quadr) strength ratio is known as a risk factor for Anterior Cruciate Ligament (ACL) injury and affects by knee and hip flexion angles. Gluteus Maximus (Gmax) muscle acts as a synergist for Hams in hip extension in a closed kinetic chain. The aim of this study was to investigate the effect of Gmax strengthening exercises on the kinetic and kinematic risk factors of ACL injury when single-leg landing from a jump. 25 volunteer women aged 18-30 years were assigned into control ( $n = 13$ ) and experimental ( $n = 12$ ) groups. Maximum isometric strength of Gmax, hip and knee joint angles and ground reaction force (GRF) was measured at landing, by dynamometer, 2D imaging and foot scan respectively,. After 8 weeks of 3 sessions of Gmax resistance training, Following the significant within-subject difference for GRF ( $F=5.245$ ,  $P=0.032$ ) by using Two-way mixed model ANOVA, Pre and post-test Differences were significant with 16.63% decrease ( $P=0.038$ ,  $t=2.354$ ). Differences between pre and post-test peak force, time to peak, mean joint angles, impact and load rate were not significant ( $\alpha = 0.05$ ). According to a 4.55% and 3.47% increase in Gmax strength and time to peak force, and considering the fact that at the beginning of landing, the mechanical advantage of Hams is lower than that of Gmax, the risk of ACL injury could be reduced by reducing GRF following an increase in the Gmax strength.

**Keywords:** ACL Injuries, Muscle Strength, Risk Factors, Kinetics, Kinematics

\*.Dr.khayam@yahoo.com

## مقدمه

آسیب رباط صلیبی قدامی زانو (ACL) یکی از شایع‌ترین آسیب‌های ورزشی است. پیامدهای طولانی مدت آن شامل کاهش سطح فعالیت، ۲۵-۱۰ درصد احتمال عود مجدد پس از ۵ سال بازگشت به فعالیت و ۱۰۰-۵۰ درصد احتمال ابتلا به استئو آرتیت در طی ۱۵-۱۰ سال پس از آسیب، لزوم پیشگیری را بیشتر مشخص می‌سازد (۱ و ۲). آسیب ACL در ورزشکاران جوان بین سنین ۲۵-۱۵ سال شیوع بیشتری دارد (۳). همچنین زنان ورزشکار در ورزش‌های همراه با کاهش ناگهانی شتاب حرکت و فرود و چرخش‌های مکرر، ۸-۲ برابر بیشتر از مردان هم‌رده خود از آسیب ACL رنج می‌برند (۴). ۸۰٪ از آسیب‌های ACL مکانیسم غیربرخوردي<sup>۱</sup> دارند و معمولاً در حین کاهش ناگهانی شتاب در موقعیت‌های با سرعت بالا مانند فرودها و تغییر جهت‌های ناگهانی و برش<sup>۲</sup> در حین دویدن که در آن میزان قابل توجهی نیرو و گشتاور در زانو ایجاد می‌شود به وقوع می‌پیونددند (۵). اگرچه پارگی ACL هم در فرود تک‌پا و هم در فرود با دوپا اتفاق می‌افتد، اما فرود تک‌پا ریسک این آسیب را افزایش می‌دهد زیرا جذب ضربه در هنگام فرود توسط یک‌پا صورت گرفته و بنابراین فشار بیشتری بر ساختارهای زانو وارد می‌آید (۶).

ریسک فاکتورهای آسیب ACL در دو گروه ریسک فاکتورهای خارجی و داخلی قرار می‌گیرند. از ریسک فاکتورهای داخلی، عوامل آناتومیکی، عوامل عصبی-عضلانی و عوامل بیومکانیکی در زمرة مهم‌ترین عوامل قرار دارند. عوامل بیومکانیکی و عصبی-عضلانی را می‌توان جهت کاهش ریسک آسیب دستکاری و تعدیل نمود (۷). از جنبه بیومکانیکی، در هنگام فرود از پرش میزان قابل توجهی گشتاور فلکسوری در زانو ایجاد می‌شود (۵). اکثر تحقیقات بارهای وارد بر زانو در صفحه فرونتال و در حقیقت گشتاور ولگوس<sup>۳</sup> زانو در لحظه فرود را به عنوان یکی از ریسک فاکتورهای آسیب ACL مورد توجه قرار داده‌اند (۸ و ۹). ولگوس زانو در نتیجه چرخش داخلی<sup>۴</sup> و نزدیک شدن<sup>۵</sup> ران در یک زنجیره جنبشی بسته ایجاد می‌شود. درباره زاویه فلکشن (خمش) و میزان گشتاور فلکسوری زانو و ران در لحظه فرود در صفحه ساجیتال تحقیقات کمتری انجام شده و نتایج متفاوتی گزارش شده است. این در حالی است که کاهش خم شدن تنہ در صفحه ساجیتال نیز موجب افزایش ولگوس است (۸ و ۹). در چنین وضعیتی فعال شدن زودهنگام عضله چهارسرانی نیز قابل تشخیص است (۱۰). در برخی از پژوهش‌ها گزارش شده است که سرینی بزرگ در حین عملکردهای داینامیک می‌تواند مانند سرینی میانی عمل کند و به کنترل حرکت لگن در صفحه افقی و عرضی کمک کند. با توجه به اینکه بیشترین بازوی گشتاور اکستنسوری سرینی بزرگ در ۱۵ درجه خم شدن تنہ است و آسیب ACL اغلب در مرحله تماس اولیه پا با زمین و ۵۰-۱۷ میلی ثانیه پس از آن و طی مرحله ابتدایی کاهش شتاب رخ می‌دهد (۱۱ و ۱۲)، بنابراین به نظر می‌رسد که در هنگام فرود از پرش که جزو حرکات زنجیره جنبشی بسته است سرینی بزرگ که اولین و مهم‌ترین بازکننده تک مفصله ران است با فعالیت پیش خورده از طریق انقباض برونگرا، در کاهش سرعت لحظه فرود و تغییرات زاویه‌ای مفاصل در لحظه فرود، و از طریق انقباض درون‌گرا در انتهای دامنه باز شدن

1. Non-contact  
2. cutting

3. valgus  
4. Internal rotation

5. Adduction

تنه برای بازگرداندن بدن به وضعیت قائم نقش مهمی را ایفا کند (۱۳). این درحالی است که بیشترین بازوی گشتاور همسترینگ در زاویه ۶۰ درجه خمث تنه حاصل شده است و در زوایای خمث کمتر تنه و متعاقباً زانو، بازوی گشتاور همسترینگ در کوتاه‌ترین موقعیت قرار دارد و نمی‌تواند نیروی لازم برای جلوگیری از به جلو رانده شدن درشت‌نی از طریق انقباض چهارسررانی را فراهم آورده و تأثیر چندانی در محافظت زانو از آسیب ACL ندارد (۱۴). همچنین کاهش خم شدن تنه در یک زنجیره جنبشی بسته بهنوبه خود سبب کاهش خمث زانو نیز می‌شود. بین ۳۰-۰ درجه خمث زانو به عنوان خطرسازترین زاویه جهت آسیب ACL گزارش شده است. در این زوایا مؤلفه نیروی برشی چهارسران در مقابل مؤلفه نیروی ضد برشی همسترینگ افزایش می‌یابد که سبب کشیده شدن قدامی درشت‌نی شده که یکی از مکانیسم‌های شناخته شده افزایش خطر آسیب رباط صلیبی قدامی زانو است. در زوایای خمث بیشتر، به دلیل افزایش طول بازوی گشتاور خارجی زانو، چهارسران برای کشیدن خلفی درشت‌نی به صورت سینرجی (همکار)<sup>۱</sup> منقبض شده که سبب ایجاد نیروی فشاری<sup>۲</sup> بیشتر در زانو شده و آن را باثبات‌تر می‌کند (۱۱، ۱۴ و ۵). در صورت ضعف سرینی بزرگ، ممکن است مکانیسم فرود به صورت پیش خوردی به نحوی تعیین شود که در آن مفصل ران و متعاقباً زانو کمتر خم شده تا عضله ضعیف بتواند از پس باز کردن تنه و متعاقب آن زانو و بازگرداندن بدن به وضعیت قائم برآید. بنابراین، وجود سرینی قوی‌تر به فرد این آزادی را می‌دهد که در لحظه فرود تنه و زانوی خود را بیشتر خم کند و از طریق تغییر مکانیسم فرود به طور مطلوب، احتمال آسیب ACL را کاهش دهد. البته مطالعات انجام شده در این زمینه بر روی تعداد کمی آزمودنی انجام شده است و برای تأیید اینکه آیا می‌توان با تقویت عضلات ضعیف شده سرینی از طریق این مکانیسم از آسیب غیربرخوردی ACL پیشگیری کرد، باید مطالعات بیشتری صورت گیرد. همچنین بر طبق نظریه مبنی بر مهار متقابل، تقویت عضلات بازکننده ران می‌تواند منجر به مهار چهارسران و درنتیجه کاهش شدت انقباض آن نیز بشود که مکانیسم شناخته شده برای پیشگیری از آسیب رباط صلیبی قدامی زانو است (۱۵ و ۱۶).

از طرف دیگر ناتوانی بدن در انجام کارآمد انقباضات برون‌گرا و پیش‌بین عضلات اندام تحتانی هنگام فرود، به صورت چشمگیری سبب افزایش مؤلفه عمودی نیروی عکس‌العمل زمین می‌شود. پژوهش‌ها نشان داده‌اند که حتی کاهش بسیار ناچیز میزان نیروی عکس‌العمل تأثیر معناداری در کاهش تعداد آسیب‌های زانو دارد (۱۷). مطالعات نشان داده‌اند که مفاصل ران و زانو با به کارگیری عضلات عمل‌کننده بر روی این مفاصل در جذب و خشی‌سازی این نیرو نقش دارند (۱۸ و ۱۹). به طوری که فرود با تنه بیشتر خم شده سبب کاهش نیروهای عکس‌العمل زمین می‌شود (۸). خم کردن بیشتر تنه و زانو، زمان فرود را افزایش داده و در شرایط ثابت، به دلیل ثابت بودن ضربه (ضربه=نیرو\*زمان)، نیروی عکس‌العمل زمین کاهش می‌یابد. با این وجود در مطالعاتی که در این زمینه صورت گرفته است تفاوتی در زاویه زانو در هنگام فرود بین آسیب دیدگان و افراد سالم

1. synergy

2. Compressive force

مشاهده نشده است (۱۶) اما در عکس‌های تهیه شده از لحظه آسیب حقيقی ACL، خمین کمتر زانو و لگن مشهود بوده است (۱۵).

با توجه به ماهیت چندعاملی آسیب ACL، در پژوهش حاضر به بررسی این مسئله پرداختیم که آیا افزایش قدرت عضله اصلی بازکننده ران می‌تواند در لحظه فرود، با تأثیر بر عوامل کینماتیکی (زواياي مفاصل زانو و لگن) و كيتيكي (نيروي عکس العمل زمين در لحظه فرود، حداكثر نيرو، زمان رسيدن به اوچ نيرو، نرخ بار<sup>۱</sup> و ضربه) مؤثر بر زانو، از بار انقباضي چهار سر کاسته و درنتيجه از آسیب ACL پيشگيري کند (۸ و ۹).

### روش‌شناسي

بر اساس ساير پژوهش‌های مشابه معتبر (۳۴، ۲۰)، ۳۰ نفر به عنوان حجم نمونه انتخاب شدند. روش نمونه‌گيری آزمودنی‌ها به صورت داوطلبانه هدفمند بود. در پژوهش‌های متعددی نشان داده شده است که نرخ آسیب ACL در زنان بيشتر از مردان است (۵-۳). بنابراین از بانوان به عنوان آزمودنی استفاده گردید. از داوطلبان ۳۰-۱۸ ساله به عنوان آزمودنی استفاده گردید تا اطمینان حاصل شود که تغييرات احتمالي در پس آزمون ازيك طرف ناشي از رشد آزمودنی‌ها در سنين زير ۱۸ سال و از سوي ديگر در اثر شروع فرآيند پيری بافت‌ها و عوارض ناشي از آن در سنين بالاتر از ۳۰ سال نباشد (۲۱). داوطلبانی که ورزشكار حرفه‌اي يا قهرمانی با سه جلسه يا بيشتر تمرینات ورزشی سنجين در هفته بودند را جزو نمونه‌های آزمون قرار نداديم تا نتایج تأثیر تمرینات را متأثر نسازد (۲۲). علاوه بر آن بيشترین تأثیر تمرینات در افراد تمرین نکرده يا با تمرین متوسط خود را نشان می‌دهد (۲۳). به داوطلبانی که اخيراً سابقه آسیب اندام تحتاني و دارای درد و يا محدوديت حرکتی اندام تحتاني بودند مجوز ورود به نمونه پژوهش داده نشد. نمونه‌ها به صورت تصادفي در دو گروه مساوي کنترل و تجريبي قرار گرفتند. ۳ نفر از آزمودنی‌هاي گروه تجريبي و ۲ نفر از آزمودنی‌هاي گروه کنترل نتوانستند به صورت منظم در انجام تمرینات و آزمون همکاري کنند که از نمونه‌ها حذف شدند. نهايتاً ۱۲ نفر از گروه تجريبي و ۱۳ نفر از گروه کنترل باقی ماندند. پس از تكميل فرم رضايي‌نامه جهت شركت در آزمون، آزمودنی‌ها با حداقل پوشش شامل مايو يا تاب و شورت و پاي‌برهنه برای انجام آزمون آماده شدند. كليه مراحل انجام آزمون‌هاي پژوهش حاضر در محيط کنترل شده آزمایشگاه ورزشی انجام شد. تعدادي از اندازه‌های آنتروپومتريك شامل وزن و قد آزمودنیها اندازه گيری شد. جهت تعين پاي برتر آزمودنی، از آزمودنی خواستيم که بر روی چهارپایه آزمون فرود بایستد و با يك‌پا دو تا سه بار به پايین فرود آيد. ارتفاع چهارپایه بر اساس برخى پژوهش‌های معتبر ۴۰ سانتي متر در نظر گرفته شد (۲۴). پايی که اكثراً آزمودنی تمایل داشت با آن فرود آيد به عنوان پاي برتر برگزيرده شد. قبل از انجام آزمون، آزمودنی به مدت ۱۰-۵ دقيقه گرم کردن عمومي و حرکات کششی بدن و ۵ دقيقه گرم کردن اختصاصي اندام تحتاني مانند زانو بلند و اسکات را انجام می‌داد (۲۳).

ابتدا بيشينه قدرت عضله سرینی بزرگ در دو دوره پيش و پس آزمون به صورت ايزومتريك اندازه گيری شد. اندازه‌گيری‌ها به روش استاندارد (۲۵) طبق تصوير شماره ۱ انجام شد. برای ثابت کردن زاويه مفاصل در هنگام

1. Load rate

انجام آزمون از بندهای محکم غیرقابل ارجاع که از یک سمت به انتهای اندام موردنظر و از طرف دیگر به پایه تخت بسته می‌شد استفاده شد. این امر باعث اعتباربخشی بیشتر به آزمون‌های سنجش قدرت ایزومتریک با دینامومتر دستی می‌گردد (۲۶). از آزمودنی خواسته می‌شد که ۵ شماره با نهایت قدرت به دینامومتر دستی دیجیتال مدل JTECH Medical MN084\_A Commander داشت فشار وارد کند. مجموعاً سه بار اندازه‌گیری قدرت با انجام باز کردن بیش از حد ران به مقدار ۲۰ درجه، انتباختات ۵ ثانیه‌ای و استراحت ۳۰ ثانیه‌ای بین تکرارها انجام شد. میانگین سه عدد به دست آمده به عنوان ماکریزم قدرت ایزومتریک عضله بر حسب نیوتن ثبت گردید (۲۷). عدد به دست آمده بر وزن فرد بر حسب نیوتن تقسیم شده و ضربدر عدد ۱۰۰ شد و ماکریزم قدرت عضله بر حسب درصد وزن بدن گزارش گردید.



شکل ۱. نحوه اندازه‌گیری بیشینه قدرت ایزومتریک عضله سرینی بزرگ

طبق پژوهش‌های مشابه معتبر اخیر، برای مشخص شدن زاویه مفاصل در لحظه فروض، نشانگرهای نقطه‌ای چسبی بر اساس متدهای تغییری از آن جهت که فیلمبرداری در لحظه فروض بر روی صفحه ساجیتال انجام می‌شد، برتر نصب شدند (۲۸ و ۲۹). از آن جهت که فیلمبرداری در لحظه فروض بر روی صفحه ساجیتال نصب شد، فقط نشانگرهای مشخص در صفحه ساجیتال نصب شدند (قوزک خارجی پا، وسط مفصل زانو (اپی کنڈیل خارجی ران)، وسط مفصل ران (تروکانتر بزرگ ران) و زایده آکرومیون. در پس زمینه صحنه فروض آزمودنی، یک صفحه قامت<sup>۳</sup> سیاهرنگ قرار داده شد تا آزمودنی با وضوح بیشتری در فیلم مشخص شود. از آنجاکه پژوهش‌ها نشان داده‌اند که استفاده از یک دوربین فیلمبرداری نیز می‌تواند برای ارزیابی کینماتیک در صفحه ساجیتال معتبر باشد (۳۰)، جهت بررسی زوایای مفاصل ران و زانو، از فیلمبرداری دوبعدی توسط یک دوربین فیلمبرداری Cannon EOS RP مدل استفاده شد. بعلاوه با توجه به اینکه ممکن بود که کف پای آزمودنی بر روی صفحه افقی چرخش داشته باشد، با توجه به شکل و فرمول مربوط به آن (شکل ۱) (فرمول ۱)، زوایای مشاهده شده از مفصل زانو در دوربین به زوایای واقعی اصلاح شد (۳۱). در فرمول ۱،  $\alpha$  زاویه واقعی مفصل در لحظه فروض،  $\beta$  زاویه چرخش پا بر روی صفحه افقی و  $\theta$  زوایه‌ای است که در صفحه ساجیتال (نمای دوربین فیلمبرداری) مشاهده می‌شود. زاویه چرخش پا در صفحه افقی از طریق داده‌های فوت اسکن به دست آمد.

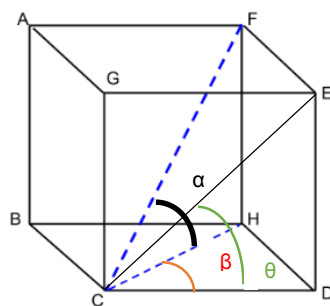
1. Modified Helen Hayes marker set

2. Bony landmarks

3. Body posture screen

سرعت فیلم برداری بر روی ۲۴۰ فریم در ثانیه تنظیم شد که برای مانورهای سریع مانند فرود مناسب گزارش شده است (۲۴). دوربین بر روی چهارپایه مخصوص در فاصله (حدود ۳ متر) و ارتفاع مناسب (زاویه صفر درجه با صفحات ساجیتال و فرونتال) نصب گردید. مقدار زوایای ران و زانو در فریم لحظه تماس اولیه پای آزمودنی با فوت اسکن توسط نرم افزار Kinovea بدست آمد.

با توجه به روش مورداستفاده در بسیاری از پژوهش‌های بیومکانیکال، برای اندازه‌گیری مؤلفه عمودی نیروی عکس‌العمل زمین در لحظه فرود از دستگاه فوت اسکن مدل RS scan 0.5M 2D foot scan plate فرکانس ۱۰۰۰ هرتز با نرم‌افزار footscan 7 USB2 gait نسخه 7.97 استفاده شد. صفحه فوت اسکن جلوی سکوی فرود قرار داده می‌شد.



شکل ۲. نمایش زوایا در یک فضای سه بعدی (۳۳)

$$\alpha = \cos^{-1} (\cos \theta / \cos \beta) \quad (1)$$

برای انجام آزمون فروود نرم افزار فوت اسکن فعال و کالیبره می شد. به این منظور وزن و سایز پای آزمودنی وارد نرم افزار دستگاه شده و آزمودنی یکبار از روی صفحه فوت اسکن عبور می کرد. سپس دوربین فیلم برداری روشن می شد. از آزمودنی درخواست می شد که با پای بر هنر برتر از روی چهار پایه بر روی وسط صفحه فوت اسکن بپردازد. ابتدا یک فروود آزمایشی انجام شده و سپس آزمون اصلی سه بار با فاصله ۳۰ ثانیه استراحت تکرار می شد (۱۷). در هنگام انجام آزمون هیچ گونه توضیحی به آزمودنی داده نمی شد و حرکت وی در حین انجام آزمون اصلاح نمی گردید تا از اثر باز خورد مربی پیشگیری شود (۲۴). در صورتی که فروود با خطأ همراه بود مثلاً آزمودنی تعادل خود را از دست می داد یا گام اضافی بر می داشت یا زمین را با دست لمس می کرد آن آزمون حذف شده و مجدداً تکرار می شد. با توجه به اینکه فروود از حرکات سریع است، میانگین ۱۰۰ میلی ثانیه نیرو بر حسب نیوتن از لحظه اول تماس در نرم افزار excel محاسبه و میانگین سه تکرار به عنوان مؤلفه عمودی نیروی عکس العمل زمین گزارش شد (۸). همچنین حداکثر نیروی عکس العمل زمین و زمان رسیدن به اوج نیرو نیز ثبت گردید. با تقسیم نیرو بر حسب نیوتن بر زمان بر حسب میلی ثانیه، نرخ بار محاسبه شد. برای نرمال کردن داده های نیروی عکس العمل زمین بر اساس وزن آزمودنی، نیرو بر وزن بر حسب نیوتون تقسیم و سپس ضربیدر ۱۰۰ و بر مبنای درصد وزن بدن گزارش شد. ضربه<sup>۱</sup> در ۳۰۰ میلی ثانیه (در این مدت زمان، نیروها در

## 1. Impulse

هنگام فرود به ثبات نسبی رسیده است) نیز توسط فرمول شماره ۲، بر اساس مساحت ذوزنقه محاسبه شد. در این فرمول  $F_n$  نیروی عکس العمل در زمان  $n$  میلی ثانیه و  $\Delta t$  یک میلی ثانیه است. برای گزارش داده ها بر اساس ثانیه داده ها تقسیم بر ۱۰۰۰ شد.

$$(N.ms) = \int_0^{300} F dt = \sum_{n=0}^{299} (F_n + F_{n+1}) / 2 * \Delta t \quad (فرمول ۲)$$

ضربه در ۳۰۰ میلی ثانیه تمرینات گروه تجربی نهایتاً تا ۲ روز بعد از پیش آزمون آغاز گردید. تمرینات تقویتی عضلات توسط کش های تمرینی که در ۴ رنگ صورتی (کمترین مقاومت) (مقاومت ۱)، زرد (مقاومت ۲)، آبی (مقاومت ۳) و طوسی (بیشترین مقاومت) (مقاومت ۴) بود انجام می شد. کش های تمرینی قابل حمل به مکان های گوناگون بوده و سودمندی آنها برای افزایش قدرت و استقامت عضلانی به اثبات رسیده است (۱۴ و ۲۲). با توجه به اینکه آزمودنی ها تمرین کرده نبودند، فرکانس ۳ جلسه تمرین در هفته برای پژوهش حاضر انتخاب شد (۳۲). همچنین ۲ دقیقه استراحت بین سرتها در نظر گرفته شد. در صورتی که آزمودنی پس از ۲ دقیقه استراحت هنوز خسته بود و قادر به ادامه انجام تمرین نبود تا ۵ دقیقه استراحت بین سرتها افزایش می یافتد (۳۳). تمرینات طبق اصل اضافه بار بر اساس جدول شماره ۱ طی هشت هفته برنامه ریزی شد.

جدول ۱. روش انجام تمرینات گروه تجربی هفته های تمرین، مقاومت، تعداد تکرار، تعداد جلسات تمرین در هفته

تعداد جلسات در هفته	ست سوم (تعداد تکرار)	ست دوم (تعداد تکرار)	ست اول (تعداد تکرار)	هفته تمرین
۳	(۲۰)	(۲۰)	(۲۰)	۲-۱
۳	(۲۵)	(۲۵)	(۲۵)	۴-۳
۳	(۲۰)	(۲۰)	(۲۰)	۶-۵
۳	(۲۵)	(۲۵)	(۲۵)	۸-۷

به دلیل اینکه ماهیت انقباضات عضلانی سرینی بزرگ در اوایل فرود بیشتر برونگرا و انجام تمرینات قدرتی ایزوله شده عضله سرینی بزرگ به صورت برونگرا با دشواری همراه است، با استفاده از کش های تمرین و طولانی تر کردن زمان بازگشت از انقباض سعی کردیم که تمرینات برونگرا را برای این عضله شبیه سازی کنیم. به این منظور آزمودنی در وضعیت چهار دست و پا بر روی زمین قرار می گرفت. سپس کش تمرین که به صورت حلقه درآمده بود را از یک طرف پشت زانو و از سمت دیگر جلوی زانوی پای مخالف قرار می داد. جهت ایزوله کردن تمرین تقویتی برای سرینی بزرگ و به حداقل رساندن فعالیت همسترینگ، زانوی پای تمرین در وضعیت ۹۰ درجه خم ش قرار می گرفت (۳۴). سپس حرکت باز کردن بیش از حد<sup>۱</sup> ران انجام می شد (۳۵). هنگامی که تعداد تکرار حرکت بالا و آزمودنی ها مبتدی هستند ۲۵-۱۵ تکرار یا بیشتر با سرعت متوسط تا بالا ارجحیت دارد (۲۳). بنابراین، برای اینکه سرعت انقباض بالاتر باشد سرعت ۱ ثانیه انقباض درون گرا (حرکت باز کردن

1. Hyper extension

بیش از حد ران در برابر مقاومت کش تمرین) و برای ویژه‌تر کردن تمرین به صورت بروونگرا، ۳ ثانیه انقباض بروونگرا (حرکت خم کردن ران (بازگشت به وضعیت شروع حرکت)) طبق تصویر شماره ۳ انتخاب شد.

اگرچه آزمون بر روی پای برتر افراد صورت می‌گرفت، به دلایل اخلاقی و به جهت برهم نزدن تعادل عضلانی بدن در دو سمت، تمرینات تقویتی به صورت متقارن برای هر دو پا انجام گرفت.



شکل ۳ نحوه انجام تمرین آزمودنی‌های گروه تجربی (از چپ به راست: ابتدا، میانه و انتهای حرکت باز کردن ران با مقاومت کش تمرین)

تا یک هفته پس از آخرین جلسه تمرین، پس آزمون دقیقاً مطابق با پیش آزمون در دو گروه تجربی و کنترل تکرار شد.

داده‌ها توسط نرمافزار SPSS نسخه ۲۳ مورد تجزیه و تحلیل آماری قرار گرفت. برای توصیف داده‌ها از شاخص‌های میانگین و انحراف استاندارد، برای آزمون معناداری از تحلیل واریانس مختلط دو عاملی (۲\*۲) که در آن، زمان (پیش و پس آزمون) به عنوان عامل تکرارشونده در گروه (گروه تجربی و گروه کنترل) مدنظر قرار گرفت و برای آزمون تعییبی از آزمون  $T$  همبسته استفاده شد.

#### یافته‌ها

دامنه سنی آزمودنی‌ها بین ۱۸-۳۰ و با میانگین  $22 \pm 2/2$  سال بود. میانگین وزن آزمودنی‌های گروه تجربی به ترتیب  $66 \pm 7/1$  و  $55/6 \pm 5/0$  کیلوگرم و گروه کنترل  $56/1 \pm 5/0$  و  $54/4 \pm 5/8$  کیلوگرم در پیش و پس آزمون و میانگین قد گروه تجربی  $164 \pm 9/4$  و کنترل  $165 \pm 7/8$  سانتیمتر بود. جدول ۲ میانگین و انحراف معیار سایر داده‌ها را نشان می‌دهد. با انجام آزمون تحلیل واریانس مختلط، اختلاف بین زمان رسیدن به اوج نیرو، بیشینه نیرو، میانگین زوایای مفاصل ران و زانو، ضربه و نرخ بار در پیش و پس آزمون در گروه کنترل و تجربی در سطح  $\alpha = 0.05$  معنادار نبود.

جدول ۲. میانگین (انحراف استاندارد) قدرت عضله سرینی بزرگ و فاکتورهای کیتیکی و کینماتیکی اندازه‌گیری شده در پیش و پس آزمون به تفکیک در گروه‌های کنترل و تجربی

گروه کنترل (۱۲ نفر)		گروه تجربی (۱۲ نفر)		
میانگین (انحراف استاندارد)		میانگین (انحراف استاندارد)		
پس آزمون	پیش آزمون	پس آزمون	پیش آزمون	
$26/2$ ( $7/1$ )	$26/5$ ( $5/2$ )	$25/7$ ( $6/5$ )	$24/6$ ( $7/3$ )	قدرت عضله سرینی بزرگ (% وزن بدن)
$126/72$ ( $30/97$ )	$133/18$ ( $33/25$ )	$114/72$ ( $26/72$ )	$133/93$ ( $38/60$ )	نیروی عکس العمل زمین (% وزن بدن)
$53/47$ ( $16/92$ )	$54/45$ ( $20/47$ )	$55/37$ ( $14/66$ )	$53/51$ ( $16/09$ )	زمان رسیدن به اوج نیرو (میلی ثانیه)

۲۵۳/۳۷ (۹۵/۰۲)	۲۶۶/۹۴ (۹۳/۴۱)	۲۲۶/۰۰ (۸۹/۸۶)	۲۴۹/۴۹ (۱۱۵/۹۶)	بیشینه نیرو (% وزن بدن)
۳۳/۳ (۳۹/۳)	۴۴/۰ (۵۶/۹)	۳۱/۴ (۳۹/۹)	۳۳/۵ (۳۵/۲)	نرخ بار (نیوتن بر میلی ثانیه)
۱۷۸/۰۲ (۶۲/۹۱)	۱۷۰/۹۷ (۴۸/۷۹)	۱۴۹/۷۰ (۲۸/۴۷)	۱۶۸/۱۸ (۴۲/۹۴)	ضربه (نیوتن*ثانیه)
۱۶۵/۴ (۵/۸)	۱۶۵/۹ (۵/۵)	۱۶۴/۶ (۶/۵)	۱۶۳/۷ (۵/۷)	زاویه ران (درجه)
۱۶۷/۶ (۴/۸)	۱۶۸/۷ (۴/۹)	۱۶۸/۲ (۴/۸)	۱۶۷/۸ (۳/۵)	زاویه زانو (درجه)

با توجه به اینکه اختلاف بین مؤلفه عمودی نیروی عکس العمل زمین در پیش و پس آزمون معنادار بود ( $F=5/245$  و  $P=0/032$ ) اما اثر تعاملی زمان در گروه و بین گروهها معنادار نبود ( $\alpha=0/05$ )، از آزمون  $T$  همبسته به عنوان آزمون تعقیبی استفاده شد (جدول ۳).

جدول ۳. آزمون  $T$  همبسته بررسی معناداری اختلاف بین مؤلفه عمودی نیروی عکس العمل زمین در پیش و پس آزمون در گروه تجربی ( $\alpha=0/05$ )

معناداری (دو دامنه)	درجه آزادی	$t$	میانگین اختلاف بین جفت‌ها	جفت ۱ مؤلفه عمودی نیروی عکس العمل زمین (پیش آزمون) (پس آزمون)
۰/۰۳۸	۱۱	۲/۳۵۴	۱۹/۲۱	

داده‌ها نشان‌دهنده معناداری اختلاف بین نیروی عکس العمل زمین در پیش و پس آزمون در گروه تجربی ( $t=2/354$ ،  $P=0/038$ ) و عدم معناداری آن در گروه کنترل در سطح  $\alpha=0/05$  بود.

## بحث

همان‌گونه که قبلاً نیز اشاره شد، بیشترین بازوی گشتاور اکستنسوری سرینی بزرگ در ۱۵ درجه خمین تنه است (۱۲ و ۱۱). میزان خمس ران و زانو در لحظه تماس اولیه پا با زمین در گروه تجربی به ترتیب ۱۶/۲ و ۱۲/۱ درجه در پیش آزمون و ۱۵/۳ و ۱۱/۸ درجه در پس آزمون و در گروه کنترل به ترتیب ۱۴/۰ و ۱۱/۲ درجه در پیش آزمون و ۱۴/۵ و ۱۲/۳ درجه در پس آزمون بوده است. این زوایا با توجه به پژوهش‌های پیشین جزو خط‌رسازترین زوایا برای آسیب ACL مطرح شده‌اند (۱۱، ۱۵ و ۱۴). در این زوایا نیروی همسترینگ نمی‌تواند از حرکت روبه‌جلوی درشت‌نی حمایت کند و شدت انقباض چهار سر نسبت به همسترینگ در این زاویه بسیار بیشتر است (۳۶). با توجه به داده‌های جدول ۲ در گروه تجربی زوایای خمس ران و زانو در پس آزمون به ترتیب ۰/۸ درجه (۰/۶۱ درصد) و ۰/۳ درجه (۰/۱۹ درصد) کاهش به نسبت پیش آزمون و در گروه کنترل به ترتیب ۰/۵ درجه (۰/۳ درصد) و ۱/۱ درجه (۰/۶۵ درصد) افزایش خمس داشته است که اختلاف‌ها از لحاظ آماری معنادار نیستند. در پژوهشی که در سال ۲۰۰۸ به منظور بررسی تأثیر تمرینات قدرتی بر بیومکانیک اندام تحتانی در هنگام پرش انجام شد، نتایج نشان داد که تمرینات قدرتی عضلات چهار سر ران، همسترینگ، سرینی بزرگ و میانی، علیرغم افزایش قدرت تأثیری بر مکانیک فرود نداشت (۳۷). نتایج پژوهش حاضر نیز همسو با پژوهش مذکور است و به نظر می‌رسد که زوایای خمس ران و زانو در لحظه فرود آنچنان تحت تأثیر تمرینات تقویتی سرینی بزرگ قرار نگرفته‌اند اما همان‌گونه که پژوهشگران پیشین نیز گزارش کرده‌اند

کاهش خمث زانو در هنگام فرود سبب کاهش خمث ران شده است (۳۸). در پژوهش هوت و میر در سال ۲۰۱۲، افزایش زاویه خمث تن به عنوان ریسک فاکتور آسیب ACL مطرح شده است (۳۹)، در حالی که از طرف دیگر افزایش خمث زانو و ران در هنگام فرود به دلیل کاهش احتمالی که در نیروی عکس العمل زمین ایجاد می‌کند، در پیشگیری از آسیب ACL مؤثر شناخته شده است (۴۰). با توجه به این فرض که وقتی سرینی بزرگ ضعیف است فرد سعی می‌کند عمودی‌تر فرود آید تا بازوی گشتاور در مفصل لگن کاهش یافته و فشار وارد بر سرینی بزرگ برای باز کردن ران متعاقب حرکت خم کردن کاهش یابد، انتظار می‌رفت که با تقویت این عضله فرد بتواند با زانو و ران‌های خمیده‌تر فرود آید. با این وجود در پژوهش‌هایی نشان داده شده است که افزایش عملکرد اکستریک سرینی بزرگ و چهارسرانی ممکن است سبب ایجاد گشتاورهای بازنده‌گی داخلی بزرگ‌تری در لگن و زانو شود که متعاقباً سبب کاهش خمث زانو در لحظه فرود و درنتیجه فرود فرد با قامتی عمودی‌تر گردد که می‌تواند درنتیجه تقویت عضله سرینی بزرگ و انقباض آن به صورت پیش خوردی باشد (۴۰ و ۴۱). به نظر می‌رسد با توجه به افزایش ۵/۴ درصدی قدرت سرینی بزرگ، در پژوهش حاضر کاهش زاویه خمث درنتیجه افزایش قدرت سرینی بزرگ بوده است. همچنین انجام تمرینات می‌تواند بدون افزایش معنادار قدرت سبب هماهنگی بیشتر عصبی-عضلانی در عضله شده باشد که در انقباض پیش خوردی عضلات مؤثر است. در این صورت فعالیت انقباضی چهارسرانی نیز می‌تواند کاهش یافته باشد. زیرا در زوایای خمث کمتر از ۳۰ درجه تن، فعالیت سرینی بزرگ اجازه افزایش فعالیت به چهارسرانی را نمی‌دهد (۸). از طرف دیگر با توجه به اینکه زمان رسیدن به اوج نیرو در گروه تجربی، هرچند از لحاظ آماری غیر معنادار، اما بهره‌حال افزایش یافته است، می‌توان احتمال داد که زوایای خمث زانو و ران در اوج خمث در پس‌آزمون بیش از پیش‌آزمون بوده باشد که این خود به معنای کاهش نیروی عکس العمل زمین است. بر اساس داده‌های جدول ۲، در گروه تجربی شاهد ۶/۱۶ درصد کاهش معنادار مشاهده می‌شود که می‌تواند به دلیل اثر یادگیری از پیش تا پس‌آزمون باشد. با توجه به اینکه ارتفاع سکوی فرود، سطح فرود و زوایای مفاصل ران و زانو برای کلیه آزمودنی‌های ما در پیش و پس‌آزمون یکسان بوده، به نظر می‌رسد که مجموعه عوامل کینماتیکی و کیتیکی مفاصل ران و زانو (خصوصاً زمان رسیدن به اوج نیرو) می‌توانند با تغییرات هرچند جزئی ولی مثبت که در اثر تقویت سرینی بزرگ صورت گرفته است، منجر به کاهش چشمگیر و معنادار نیروی عکس العمل زمین و کاهش احتمال آسیب ACL در لحظه فرود شوند. (۴۲). علاوه بر اینکه در پژوهش حاضر فقط زوایای مفاصل در صفحه ساجیتال بررسی شده درحالی که ممکن است انجام تمرینات پژوهش حاضر سبب تغییراتی در استراتژی فرود در صفحات فرونال و هوریزونال نیز شده باشد. تمامی این عوامل می‌توانند یکدیگر را تشدید کرده و سبب کاهش نیروی عکس العمل زمین به صورت معنادار شده باشند.

در مورد زمان رسیدن به اوج نیروی عکس العمل زمین، بیشینه نیرو و نرخ بار بر اساس جدول ۲، به ترتیب ۶/۷۸ میلی‌ثانیه و درواقع ۴/۳۳ درصد افزایش در زمان و ۳۹/۱۰ درصد کاهش در نیرو و ۷/۶۷ درصد کاهش

نرخ بار در گروه تجربی و ۰/۹۸ میلی ثانیه یا ۱/۸۳ درصد کاهش در زمان و ۵/۳۵ درصد کاهش در نیرو و ۳۱/۹۰ درصد کاهش در نرخ بار در گروه کنترل در پس آزمون به نسبت پیش آزمون شاهد بوده ایم. اگرچه که این میزان اختلاف از لحاظ آماری معنادار نبوده است، اما از لحاظ کلینیکی، افزایش هرچند ناچیز زمان رسیدن به اوج نیرو و کاهش بیشینه نیرو و نرخ افزایش بار برای کاهش احتمال آسیب ACL دارای اهمیت است (۱۷). در پژوهش حاضر تقویت سرینی بزرگ سبب کنترل خمث ران و نتیجتاً زانو در لحظه فرود شده و زمان جذب نیرو افزایش یافته است. نتایج پژوهش ما با نتایج پژوهش لپوریس و همکارانش در سال ۲۰۱۳ که اثر تمرینات پیشگیرانه موسوم به PTP بر کینماتیک در صفحه ساجیتال در حین اجرای فرود و پرش عمودی در مردان والیالیست را مورد بررسی قراردادند همسو است زیرا نتایج پژوهش آنها نشان داد که پس از ۶ هفته تمرین زمان فرود از لحظه تماس اولیه تا اوج خمث زانو در فرود تک پا و جابجایی زاویه ای زانو در فرود دو پا افزایش یافت. درواقع تمرینات سبب بهبود مهارت پرش عمودی شد اما این تغییرات از لحاظ آماری معنادار نبود (۴۳). به هر حال به دلیل عدم معناداری اختلاف بین گروه تجربی و کنترل، به نظر می رسد که تأیید یا رد این عوامل به عنوان ریسک فاکتور نیاز به انجام پژوهش های بیشتری دارد.

در مورد ضربه با توجه به جدول ۲، شاهد ۱۳/۰۸ درصد کاهش در گروه تجربی در پس آزمون به نسبت پیش آزمون بوده ایم درحالی که این میزان برای گروه کنترل ۰/۳۶ درصد افزایش بوده است. اگرچه این میزان اختلاف از لحاظ آماری معنادار نبوده است، ولی کاهش قابل توجهی که در گروه تجربی متعاقب تمرین اتفاق افتاده است از لحاظ کلینیکی مهم و می تواند نمایانگر تغییر استراتژی فرود در جهت مثبت در گروه تجربی درنتیجه انجام تمرینات باشد. با توجه به اینکه ضربه در بازه ۳۰۰ میلی ثانیه پس از فرود محاسبه شده است، نمی توان تغییرات استراتژی فرود در لحظه فرود را با تغییرات ضربه مقایسه کرد. تغییرات قابل توجه کاهشی در میزان ضربه در گروه تجربی می تواند نمایانگر تغییرات استراتژی فرود از لحاظ زوایای مفاصل در طول جذب نیرو باشد. به دلیل اینکه ضربه در هنگام فرودهایی با شرایط یکسان باید تقریباً برابر باشد و ضربه نتیجه نیرو در زمان است، با افزایش مدت زمان جذب نیرو، در حقیقت نیروی عکس العمل زمین به طور هم زمان کاهش یافته است. اگرچه با تقویت سرینی بزرگ زوایای مفاصل ران و زانو در لحظه فرود کاهش یافته است، شاید در ادامه حرکت و در اوج خمث شاهد افزایش خمث زانو و ران باشیم که متعاقباً سبب کاهش بیشتر نیروی عکس العمل زمین و همچنین کاهش معنادار ضربه خواهد شد.

### نتیجه گیری

با توجه به اینکه پس از انجام تمرینات تقویتی سرینی بزرگ، اختلاف پیش و پس آزمون ریسک فاکتورهای کینماتیکی و کیتیکی آسیب ACL، به جز نیروی عکس العمل زمین، معنادار نبوده ولی جهت تغییرات همگی آنها مثبت بوده است، پیشنهاد می شود که جهت افزایش اثر این تمرینات در پیشگیری از آسیب ACL از طریق مکانیسم های ذکر شده، آموزش الگوی فرود صحیح نیز به عنوان تمرین تکمیلی همسو با تقویت عضلات مدنظر قرار گیرد. همان گونه که از نظر تئودور بومپا، تئوریسین بزرگ در زمینه علم تمرین، حداکثر به کارگیری واحد های

حرکتی به صورت ارادی که توسط تمرینات قدرتی کسب شده است می‌تواند به یک تمرین ورزشی خاص انتقال پیدا کند به شرط اینکه تکنیک توسط ورزشکار شناخته شده باشد (۴۴). با توجه به اینکه افزایش نیروی عکس‌العمل زمین به عنوان ریسک فاکتور شناخته شده برای آسیب ACL مطرح است (۱۷) و تمرینات تقویتی سرینی بزرگ منجر به کاهش چشمگیر و معنادار میزان آن در لحظه فرود شده است، نتایج پژوهش حاضر می‌تواند به عنوان یکی از اجزا جهت طراحی مدل‌های پیشگیری از آسیب ACL مورد استفاده قرار گیرد. مریان رشته‌های ورزشی بسکتبال، فوتبال، هندبال و والیبال که ورزشکاران آن بالاترین نرخ آسیب ACL را دارا می‌باشند می‌توانند از نتایج پژوهش فوق جهت برنامه‌ریزی تمرینات پیشگیرانه ورزشکاران خود پیش از فصل مسابقات بهره‌مند شوند.

### تشکر و قدردانی

بدینوسیله از آزمودنیها و مسئول آزمایشگاه تربیت بدنی دانشگاه اصفهان بابت زحماتی که در جهت انجام شایسته پژوهش متحمل شدند، تشکر ویژه بعمل می‌آید.

### منابع

- Karanian, F., Daneshmandi, H., Hemmatinejad, M., Rahnema, N. (2013). Study of financial costs of injury in different organs of Iranian Premier League footballers. *Sports Medicine*. 10: (69-87). (Persian)
- Paterno, M. V., Schmitt, L. C., Ford, K. R., Rauh, M. J., Myer, G. D., Huang, B., Hewett, T. E. (2010). Biomechanical measures during landing and postural stability predict second anterior cruciate ligament injury after anterior cruciate ligament reconstruction and return to sport. *The American Journal of Sports Medicine*. 38(10), 1968-1978.
- Griffin, L. Y., Albohm, M. J., Arendt, E. A., Bahr, R., Beynnon, B. D., DeMaio, M., Hewett, T. E. (2006). Understanding and preventing noncontact anterior cruciate ligament injuries: a review of the Hunt Valley II meeting, January 2005. *The American Journal of Sports Medicine*. 34(9), 1512-1532.
- Renstrom, P., Ljungqvist, A., Arendt, E., Beynnon, B., Fukubayashi, T., Garrett, W., & Mandelbaum, B. (2008). Non-contact ACL injuries in female athletes: an International Olympic Committee current concepts statement. *British Journal of Sports Medicine*. 42(6), 394-412.
- Bahr, R., Engebretsen, L. (Eds.). (2009). *Sports injury prevention*. Wiley-Blackwell.
- Santello, M. (2005). Review of motor control mechanisms underlying impact absorption from falls. *Gait & Posture*. 21(1), 85-94.
- Waldén, M., Atroshi, I., Magnusson, H., Wagner, P., Hägglund, M. (2012). Prevention of acute knee injuries in adolescent female football players: cluster randomized controlled trial. *British Medical Journal*. 344, e3042.
- Shultz, S. J., Schmitz, R. J., Benjaminse, A., Collins, M., Ford, K., Kulas, A. S. (2015). ACL research retreat VII: An update on anterior cruciate ligament injury risk factor identification, screening, and prevention: March 19–21, 2015; Greensboro, NC. *Journal of Athletic Training*. 50(10), 1076-1093.
- Hewett, T. E., Torg, J. S., Boden, B. P. (2009). Video analysis of trunk and knee motion during non-contact anterior cruciate ligament injury in female athletes: lateral trunk and knee abduction motion are combined components of the injury mechanism. *British Journal of Sports Medicine*. 43(6), 417-422.
- Shultz, S. J., Nguyen, A. D., Schmitz, R. J. (2008). Differences in lower extremity anatomical and postural characteristics in males and females between maturation groups. *Journal of Orthopaedic & Sports Physical Therapy*. 38(3), 137-149.
- Boden, B. P., Dean, G. S., Feagin, J. A., Garrett, W. E. (2000). Mechanisms of anterior cruciate ligament injury. *Orthopedics*. 23(6), 573-578.
- Markolf, K. L., Burchfield, D. M., Shapiro, M. M., Shepard, M. F., Finerman, G. A., Slauterbeck, J. L. (1995). Combined knee loading states that generate high anterior cruciate ligament forces. *Journal of Orthopaedic Research*. 13(6), 930-935.
- Oatis, C. A. (2009). *Kinesiology: the mechanics and pathomechanics of human movement*. Lippincott Williams & Wilkins.
- Olsen, O. E., Myklebust, G., Engebretsen, L., Bahr, R. (2004). Injury mechanisms for anterior cruciate ligament injuries in team handball: a systematic video analysis. *The American Journal of Sports Medicine*. 32(4), 1002-1012.
- Ireland, M. L. (1999). Anterior cruciate ligament injury in female athletes: epidemiology. *Journal of Athletic Training*. 34(2), 150.
- Bahr, R., Engebretsen, L. (Eds.). (2011). *Handbook of sports medicine and science, sports injury prevention*; Vol. 17. John Wiley & Sons.
- Jeansonne, J. J., Montz, J., Rodriguez, J. (2007). Examining the effect of an in season plyometric training program on peak impact jumping forces in females. *Journal of Biomechanics*. 40(2), S739.
- Yeow, C. H., Lee, P. V. S., Goh, J. C. H. (2011). An investigation of lower extremity energy dissipation strategies during single-leg and double-leg landing based on sagittal and frontal plane biomechanics. *Human Movement Science*. 30(3), 624-635.

19. McNair, P. J., Papavassis, H., Callender, K. (2000). Decreasing landing forces: effect of instruction. *British Journal of Sports Medicine*. 34(4), 293-296.
20. Daneshjoo A, Mokhtar AH, Rahnama N, Yusof A. The effects of injury preventive warm-up programs on knee strength ratio in young male professional soccer players. *PloS One*. 2012-3; 7(12):e50979.
21. Malina, R. M., Bouchard, C., Bar-Or, O. (2004). Growth, maturation, and physical activity. *Human Kinetics*.
22. Thomas JR, Silverman S, Nelson J. (2015). Research methods in physical activity; 7th. *Human Kinetics*.
23. Ratamess, N. A. (2011). ACSM's Foundations of Strength Training and Conditioning. Wolters Kluwer Health/Lippincott Williams & Wilkins.
24. Pappas, E., Hagins, M., Sheikhzadeh, A., Nordin, M., Rose, D. (2007). Biomechanical differences between unilateral and bilateral landings from a jump: gender differences. *Clinical Journal of Sport Medicine*. 17(4), 263-268.
25. Kendall FP, McCreary EK, Provance PG. (2005). Muscles: testing and function with posture and pain. Lippincott Williams & Wilkins.
26. Thorborg K, Bandholm T, Hölmich P. (2013). Hip-and knee-strength assessments using a hand-held dynamometer with external belt-fixation are inter-tester reliable. *Knee Surgery, Sports Traumatology, Arthroscopy*. 21(3):550-5.
27. Khayambashi K, Ghoddosi N, Straub RK, Powers CM. (2016). Hip muscle strength predicts noncontact anterior cruciate ligament injury in male and female athletes: a prospective study. *The American Journal of Sports Medicine*. 44(2):355-61.
28. Queen, R. M., Renner, K., & Peebles, A. (2019). Landing Mechanics Differences between the Drop Vertical Jump and Stop Jump: 2237: Board# 2 May 31 9: 30 AM-11: 30 AM. *Medicine & Science in Sports & Exercise*. 51(6), 610-611.
29. McDonnell, J., Zwetsloot, K. A., Houmard, J., DeVita, P. (2019). Skipping has lower knee joint contact forces and higher metabolic cost compared to running. *Gait & Posture*. 70, 414-419.
30. White, J. D., Carson, N., Baum, B. S., Reinking, M. F., McPoil, T. G. (2019). Use of 2-dimensional sagittal kinematic variables to estimate ground reaction force during running. *International Journal of Sports Physical Therapy*. 14(2), 174.
31. Zatsiorsky, V. (1998). Kinematic geometry of human motion: Body posture. *Kinematics of Human Motion*. 90.
32. Rhea, M. R., Alvar, B. A., Burkett, L. N., Ball, S. D. (2003). A meta-analysis to determine the dose response for strength development. *Medicine & Science in Sports & Exercise*. 456-464.
33. Willardson, J. M., Burkett, L. N. (2005). A comparison of 3 different rest intervals on the exercise volume completed during a workout. *The Journal of Strength & Conditioning Research*. 19(1), 23-26.
34. Kwon, Y. J., Lee, H. O. (2013). How different knee flexion angles influence the hip extensor in the prone position. *Journal of Physical Therapy Science*. 25(10), 1295-1297.
35. Kraemer, W. J., Ratamess, N. A. (2004). Fundamentals of resistance training: progression and exercise prescription. *Medicine & Science in Sports & Exercise*. 36(4), 674-688.
36. Neumann, D. A. (2002). *Kinesiology of the musculoskeletal system: foundations for physical rehabilitation*. Mosby.
37. Herman, D. C., Weinhold, P. S., Guskiewicz, K. M., Garrett, W. E., Yu, B., Padua, D. A. (2008). The effects of strength training on the lower extremity biomechanics of female recreational athletes during a stop-jump task. *The American Journal of Sports Medicine*. 36(4), 733-740.
38. Chappell, J. D., Creighton, R. A., Giuliani, C., Yu, B., Garrett, W. E. (2007). Kinematics and electromyography of landing preparation in vertical stop-jump: risks for noncontact anterior cruciate ligament injury. *The American Journal of Sports Medicine*. 35(2), 235-241.
39. Hewett, T. E., Myer, G. D., Ford, K. R., Paterno, M. V., Quatman, C. E. (2012). The 2012 ABJS Nicolas Andry Award: The sequence of prevention: a systematic approach to prevent anterior cruciate ligament injury. *Clinical Orthopaedics & Related Research®*. 470(10), 2930-2940.
40. Walsh, M., Boling, M. C., McGrath, M., Blackburn, J. T., Padua, D. A. (2012). Lower extremity muscle activation and knee flexion during a jump-landing task. *Journal of Athletic Training*. 47(4), 406-413.
41. Malinzak, R. A., Colby, S. M., Kirkendall, D. T., Yu, B., Garrett, W. E. (2001). A comparison of knee joint motion patterns between men and women in selected athletic tasks. *Clinical Biomechanics*. 16(5), 438-445.
42. Santello, M. (2005). Review of motor control mechanisms underlying impact absorption from falls. *Gait & Posture*. 21(1), 85-94.
43. Leporace, G., Praxedes, J., Pereira, G. R., Pinto, S. M., Chagas, D., Metsavaht, L., Batista, L. A. (2013). Influence of a preventive training program on lower limb kinematics and vertical jump height of male volleyball athletes. *Physical Therapy in Sport*. 14(1), 35-43.
44. Bompa, T., & Buzzichelli, C. (2015). Periodization training for sports; 3rd. *Human Kinetics*.

نحوه درج مقاله: آزاده درودگر، خلیل خیام باشی، شهرام لنجهان نژادیان، قاسم یادگارفر ، (۱۴۰۰). تأثیر تمرينات تقویتی عضله سرینی بزرگ بر ریسک فاکتورهای کینماتیکی و کینتیکی آسیب غیر برخورده رباط صلیبی قدامی زانو. پژوهش در طب ورزشی و فناوری. ۱۹(۱):۳۵-۲۲. دی او آی ۱۹.۱.۲۳. ۱۰.۲۹۲۵۲/jsmth.۱۹.۱.۲۳

**How to cite this article:** Azadeh Doroodgar, Khalil Khayambashi, Shahram Lenjanejad, Ghasem Yadegarfar. (2021). The effect of Gluteus maximus muscle strengthening on kinematic and kinetic risk factors of non-contact ACL injury. 19(1):23-35. (In Persian). DOI: 10.29252/jsmth.19.1.23.